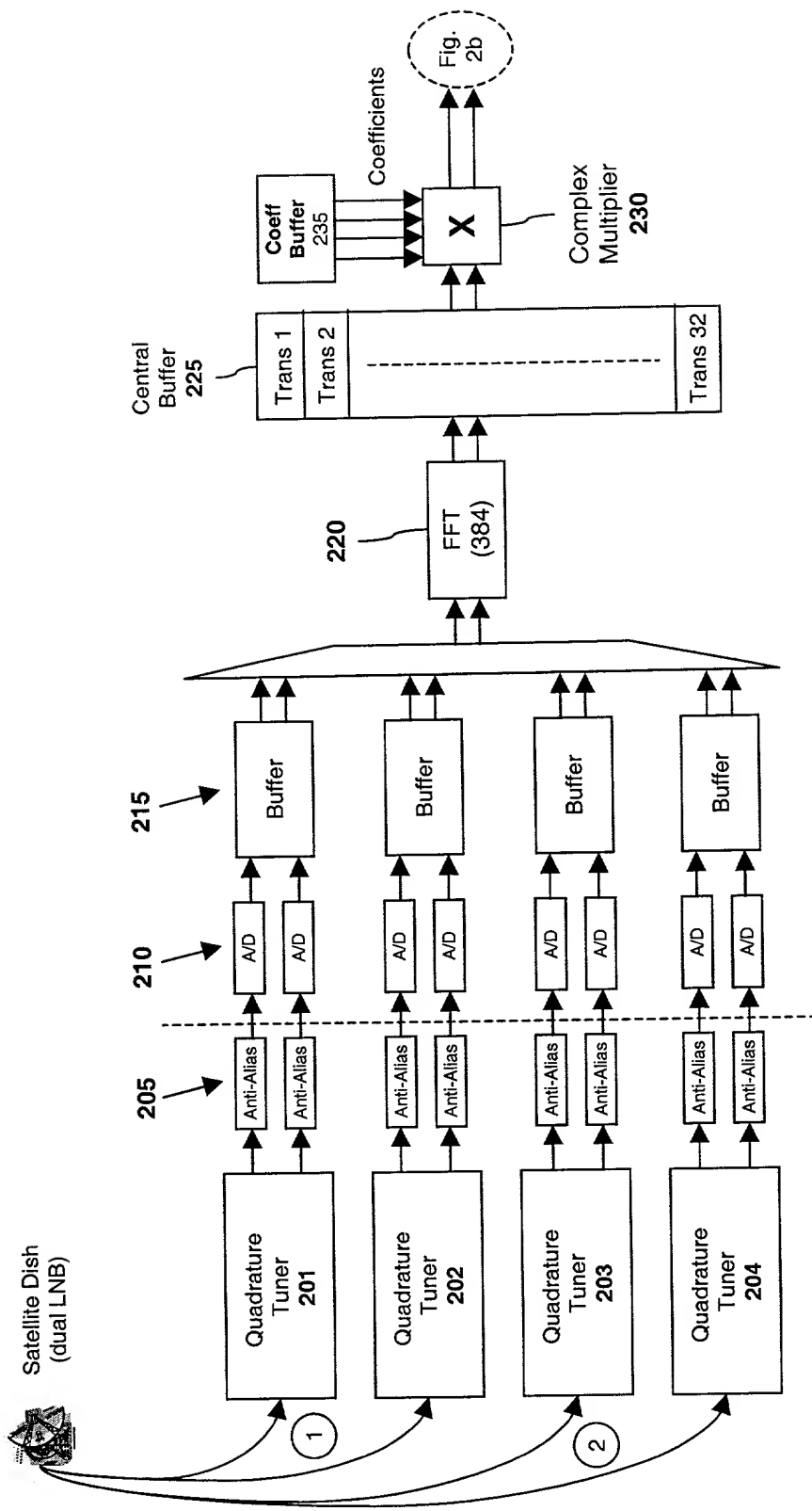
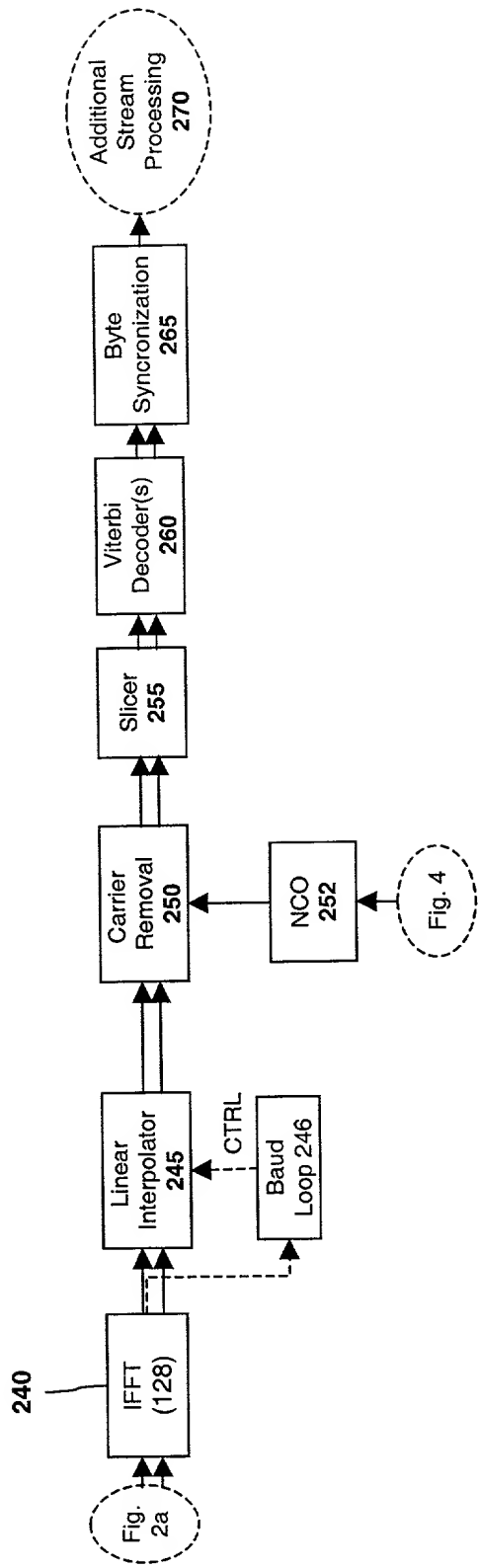


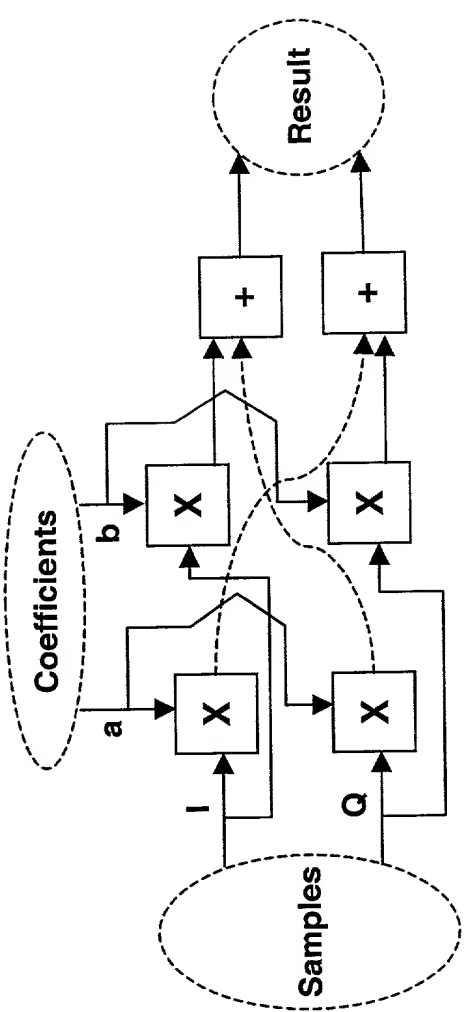
**Fig. 1**  
*Prior art*



**Fig. 2a**



**Fig. 2b**



*Fig. 3a*

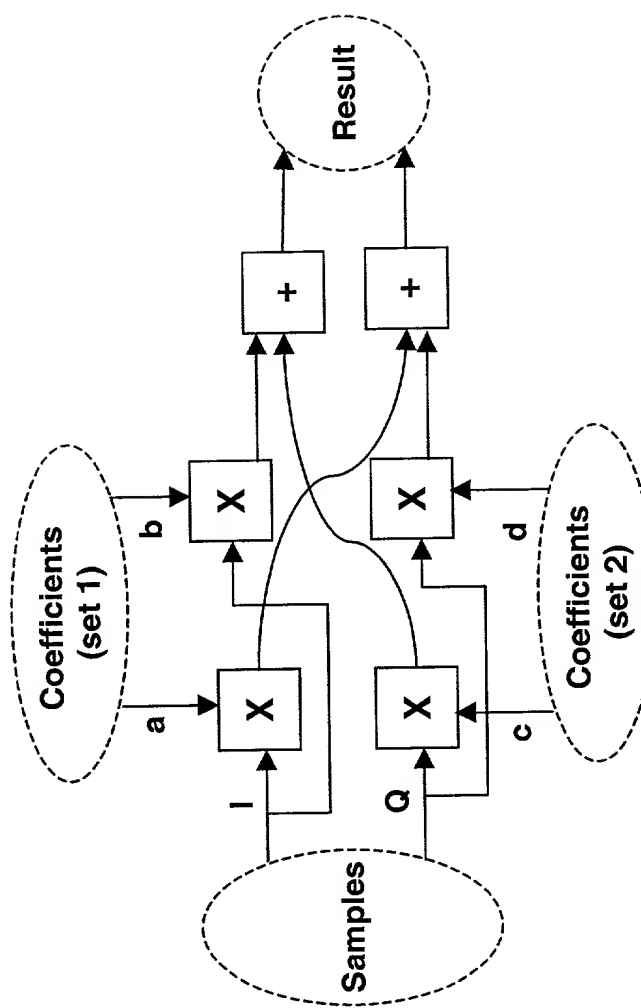


Fig. 3b

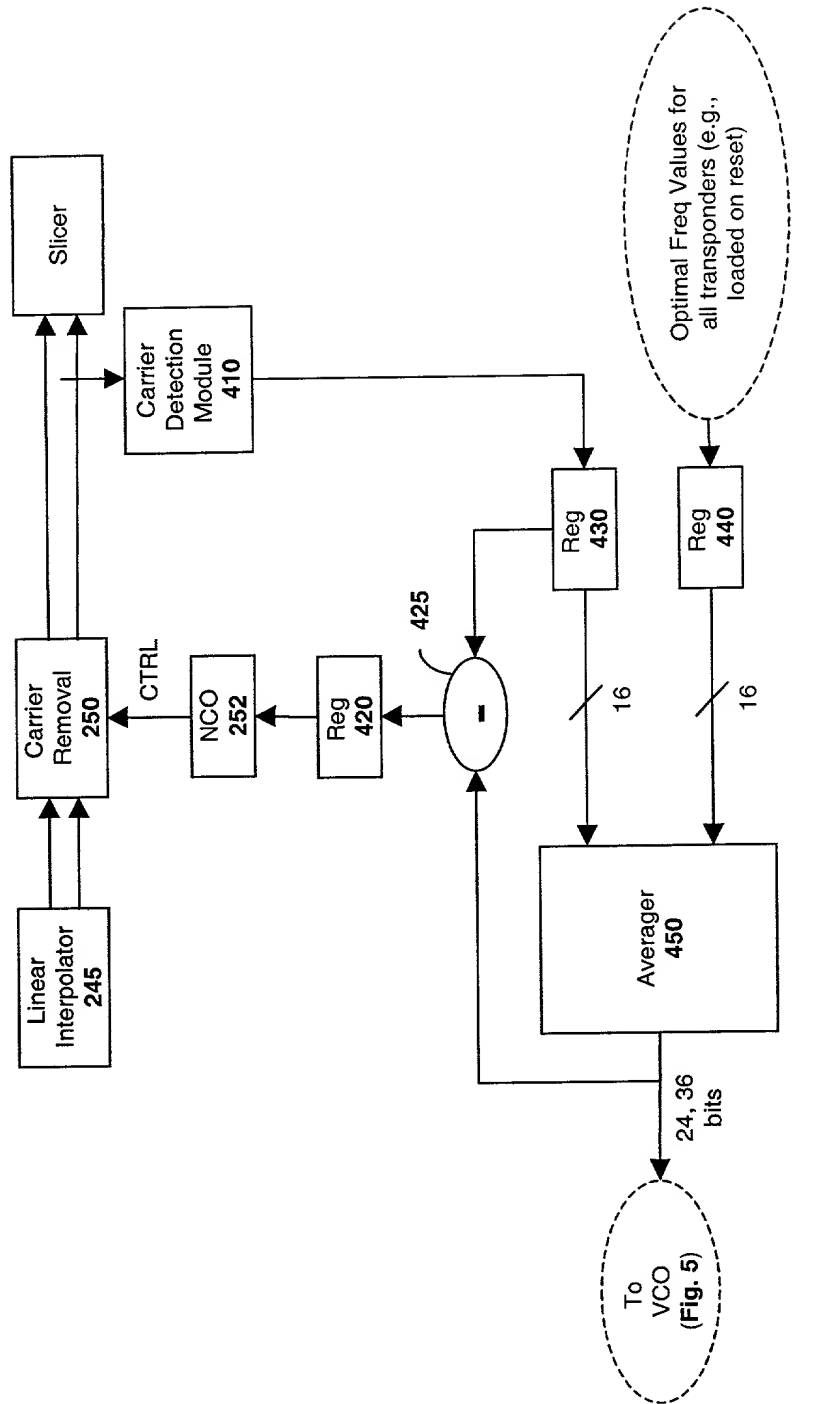
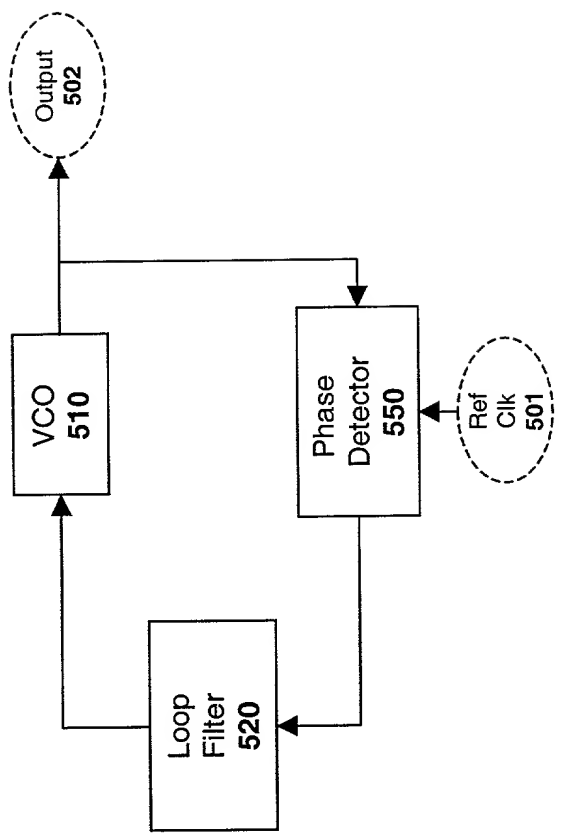
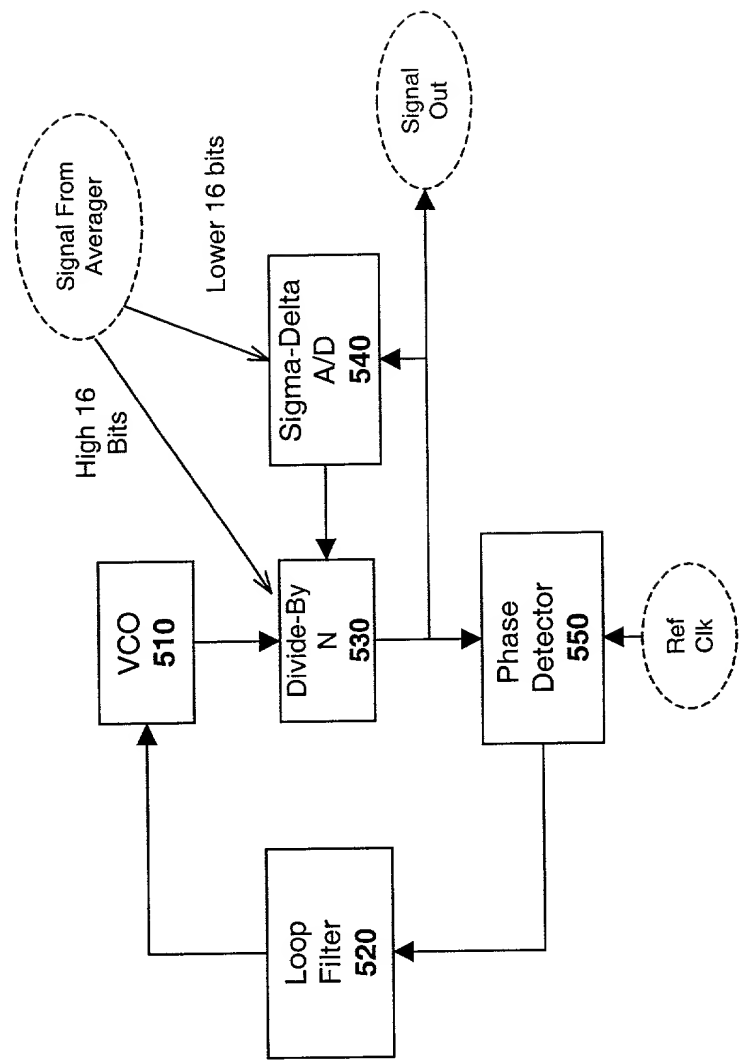


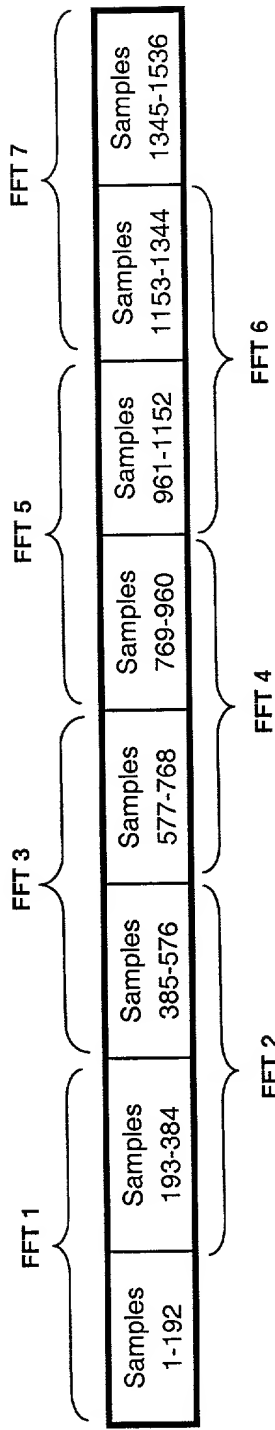
Fig. 4



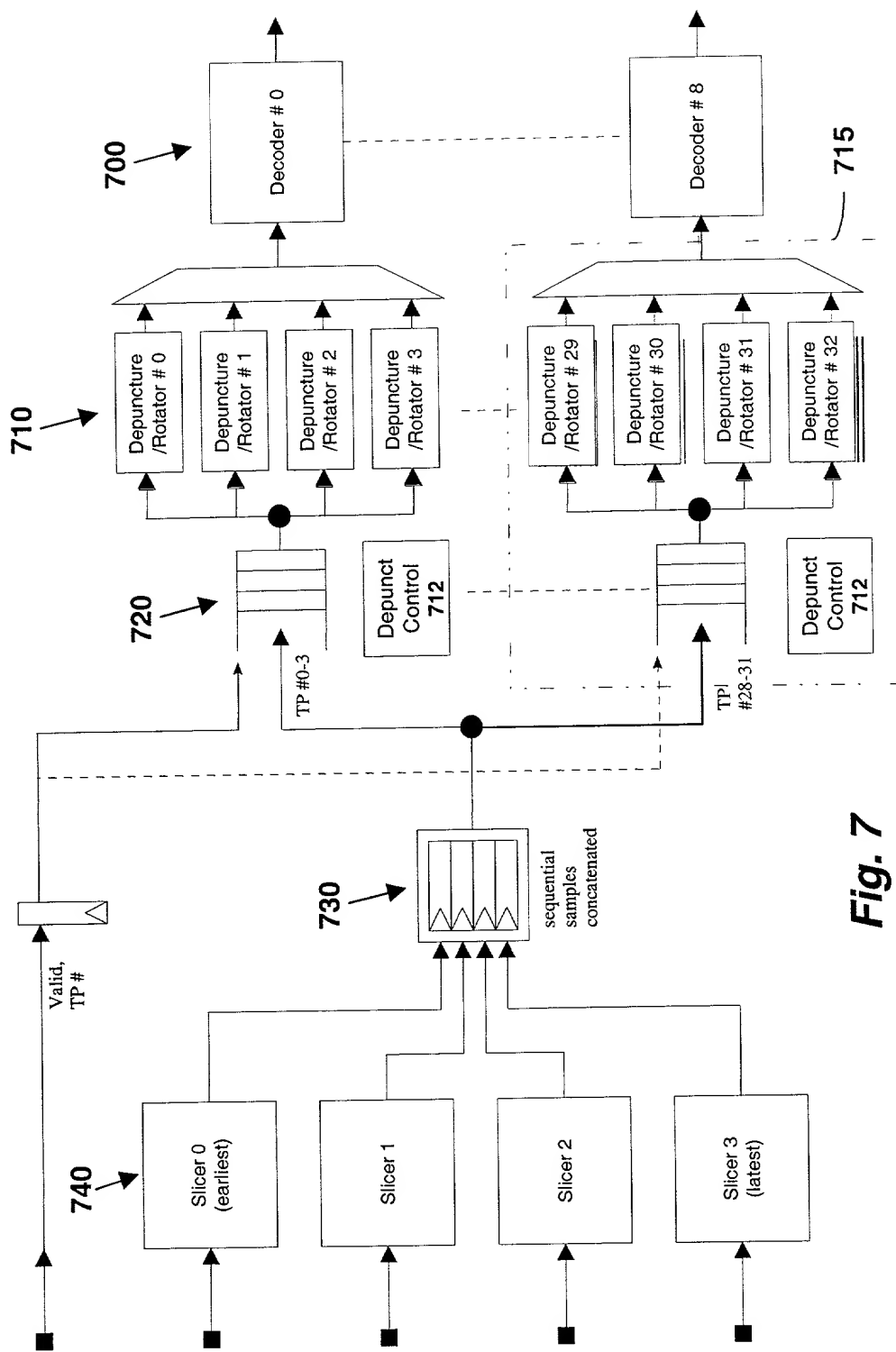
*Fig. 5a*



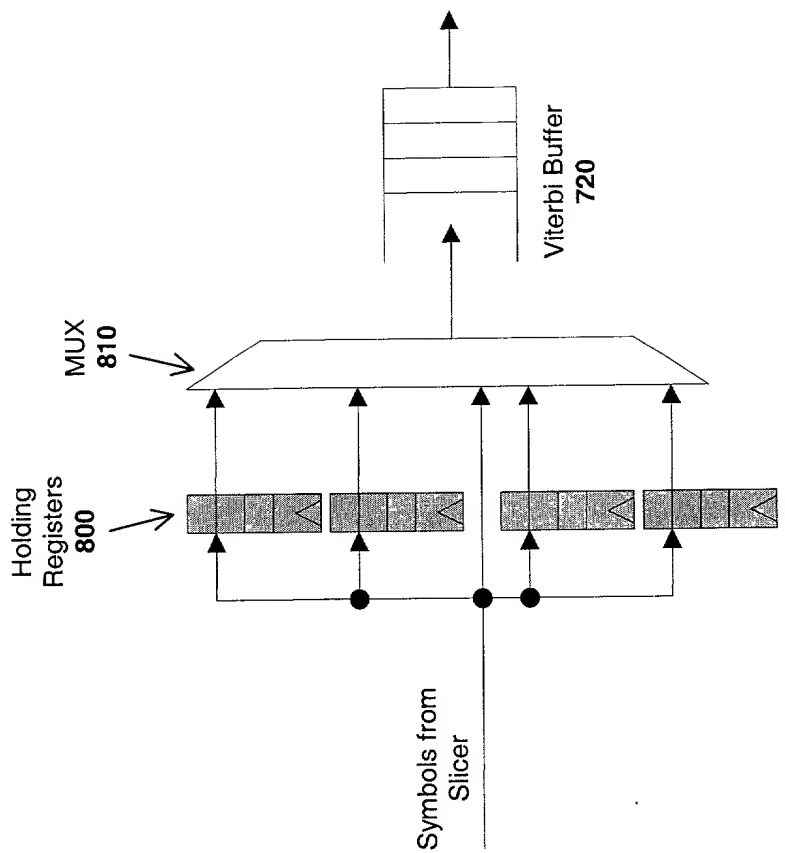
**Fig. 5b**



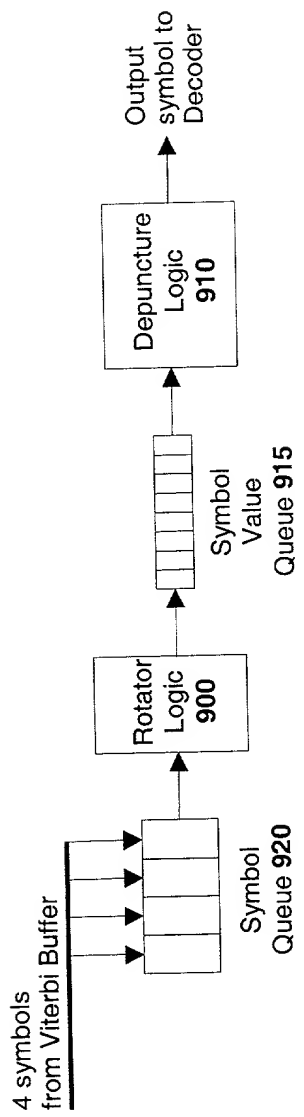
**Fig. 6**  
FFT Input Data



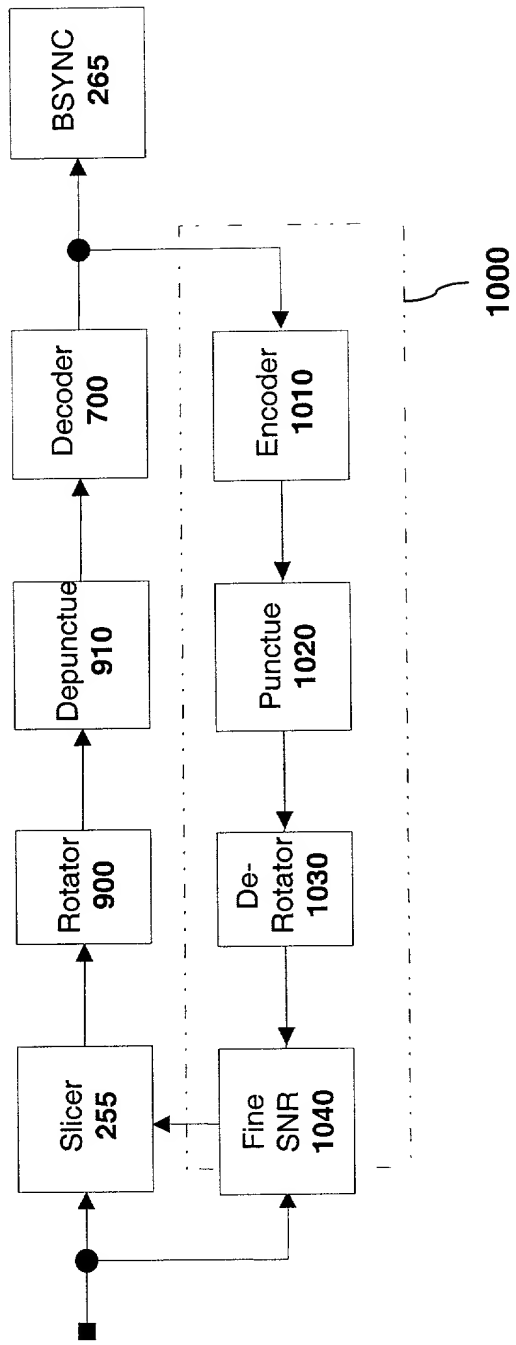
**Fig. 7**



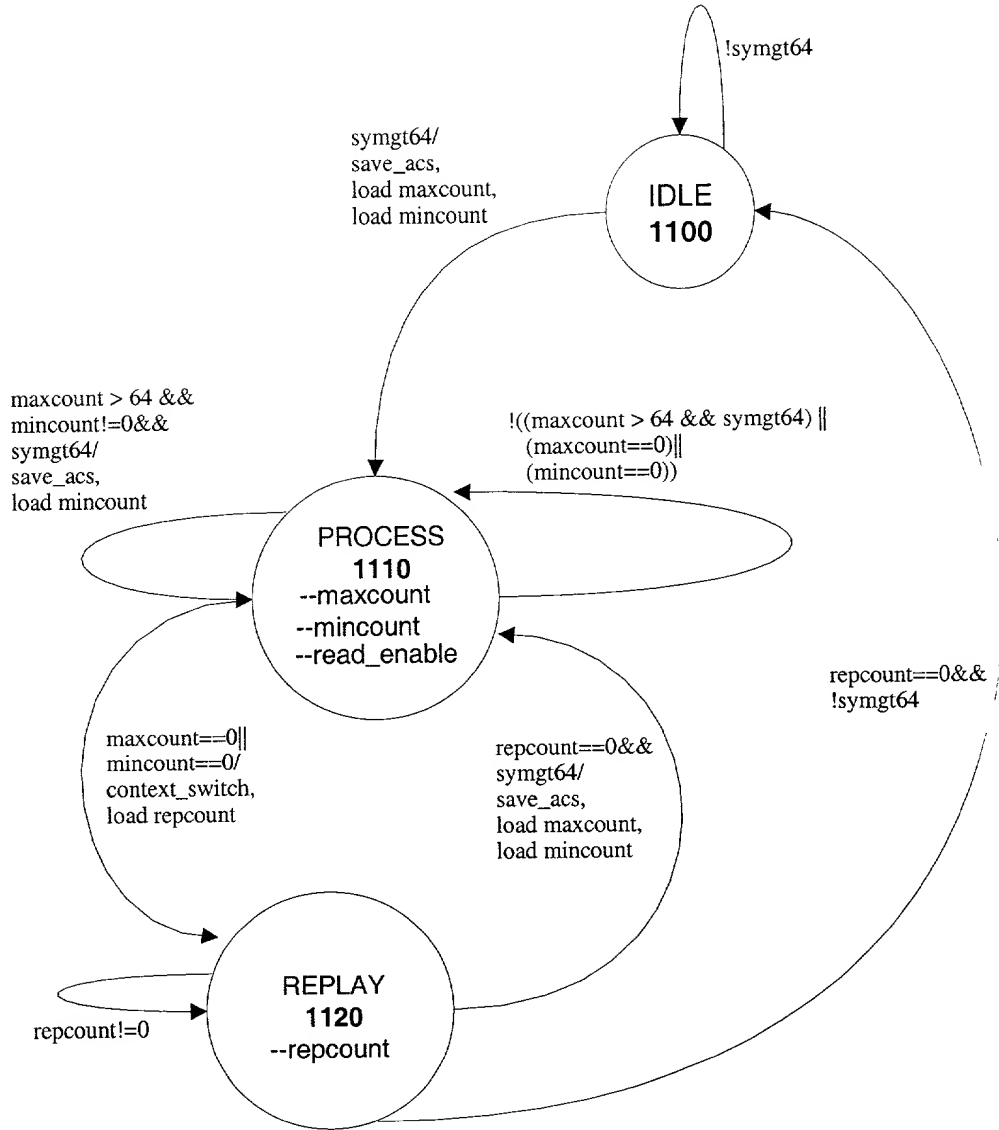
*Fig. 8*



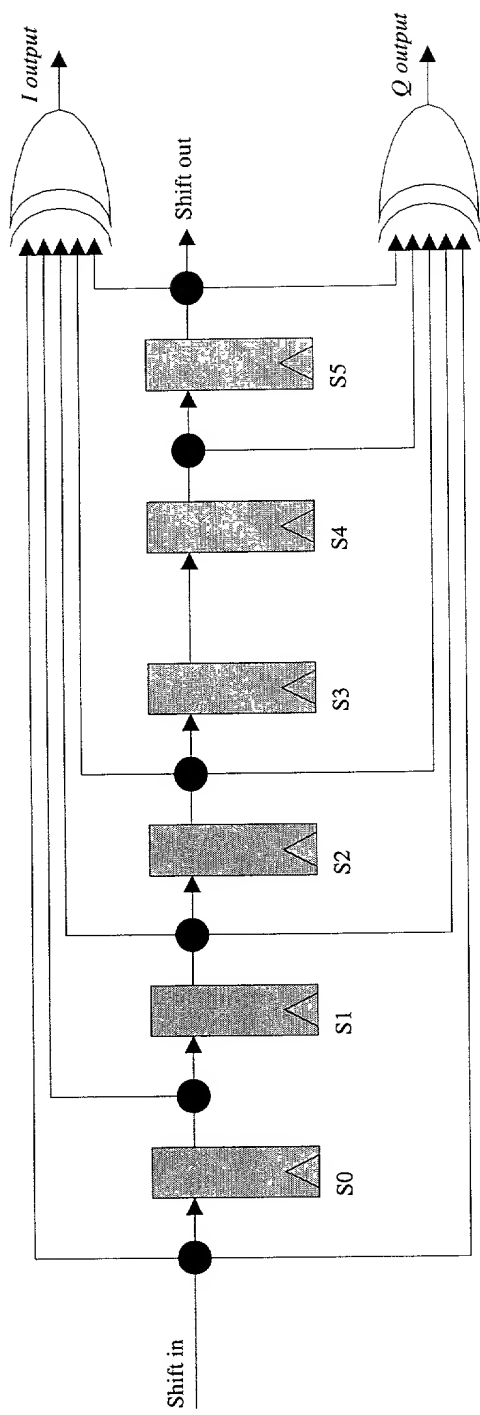
*Fig. 9*



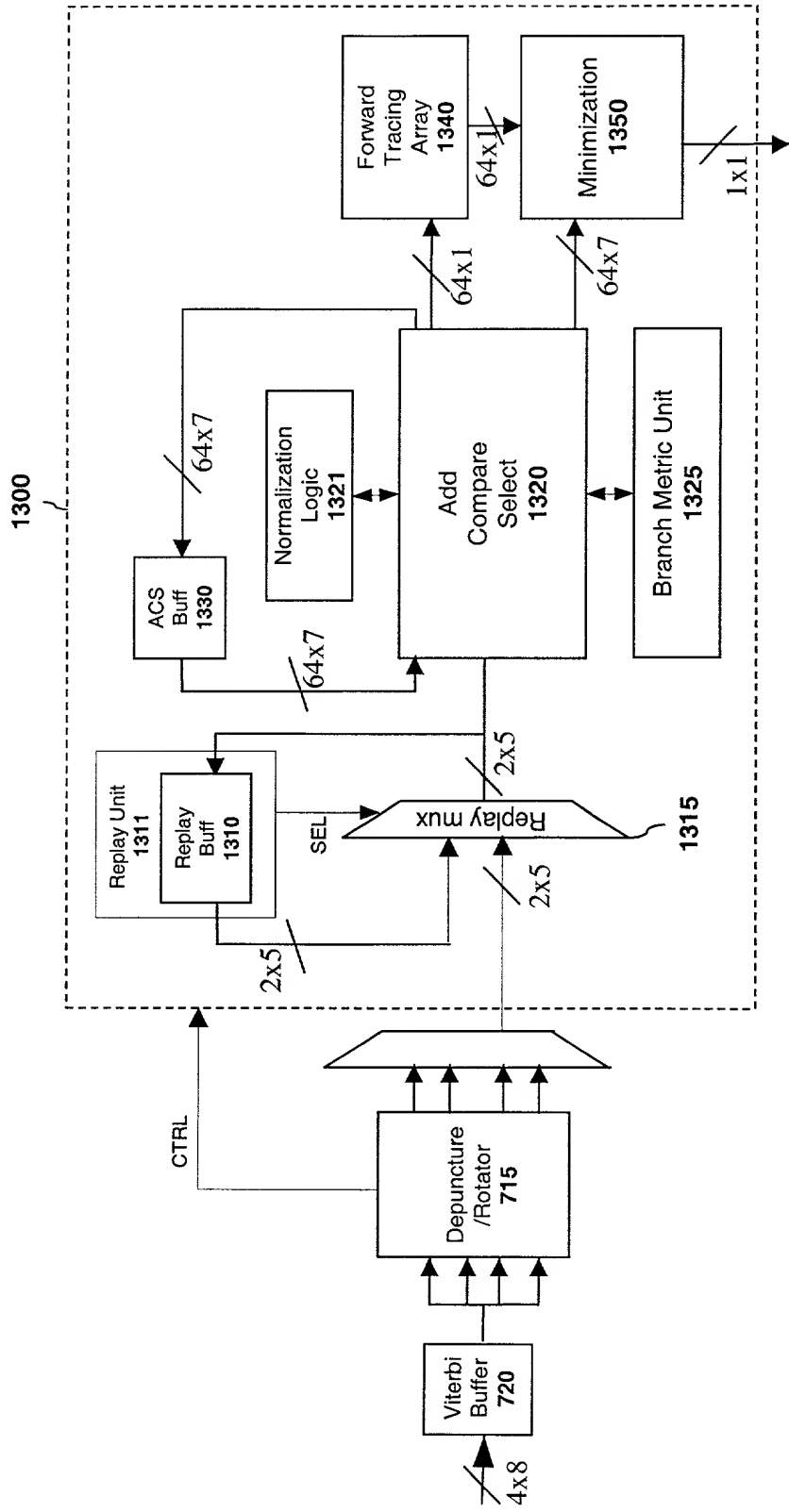
*Fig. 10*



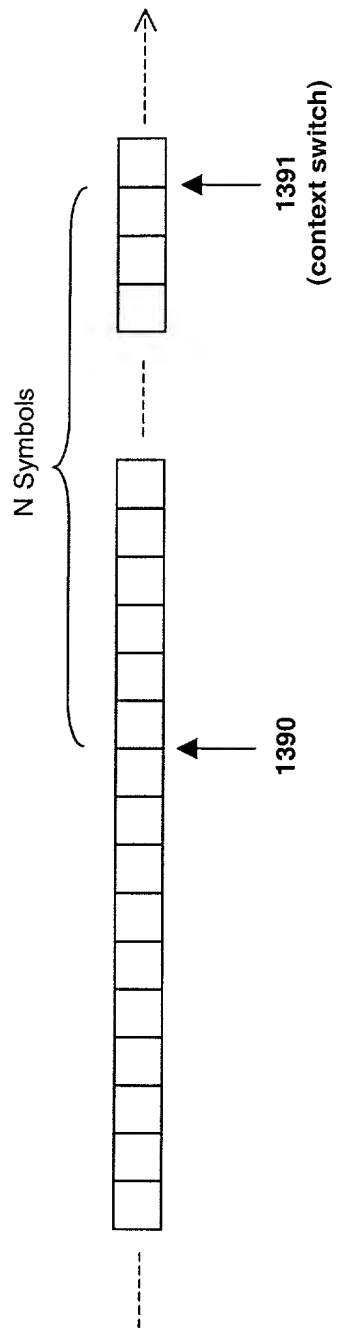
**Fig. 11**



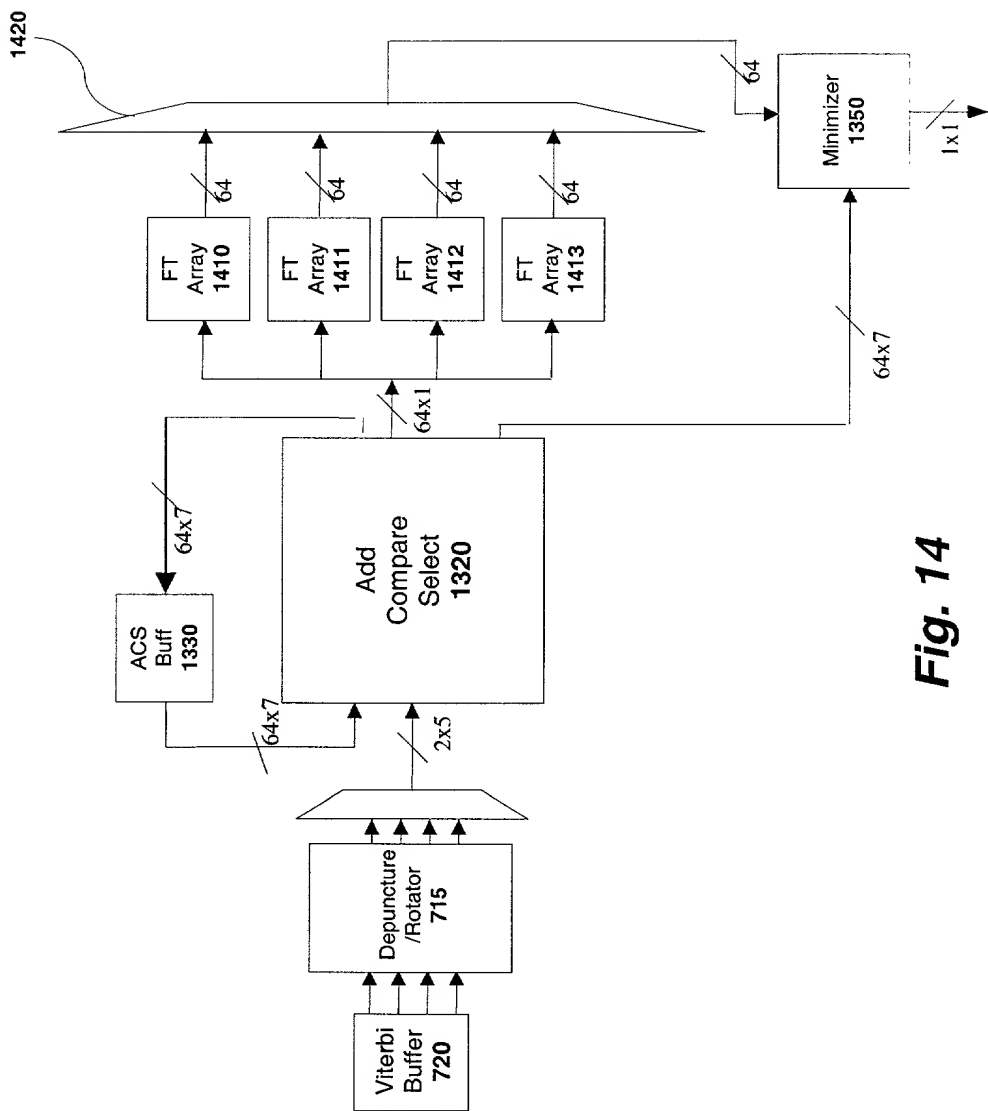
*Fig. 12*



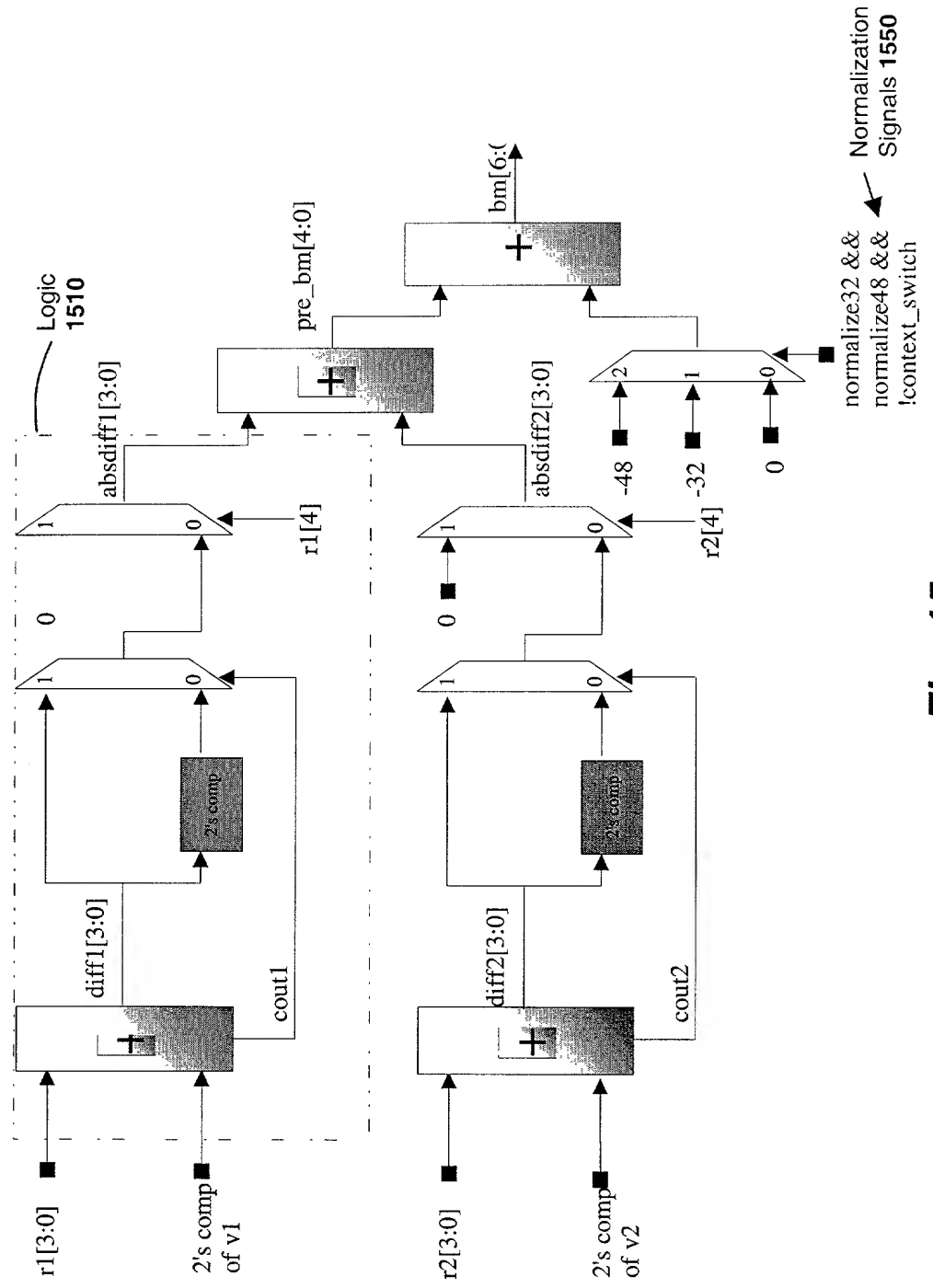
**Fig. 13a**



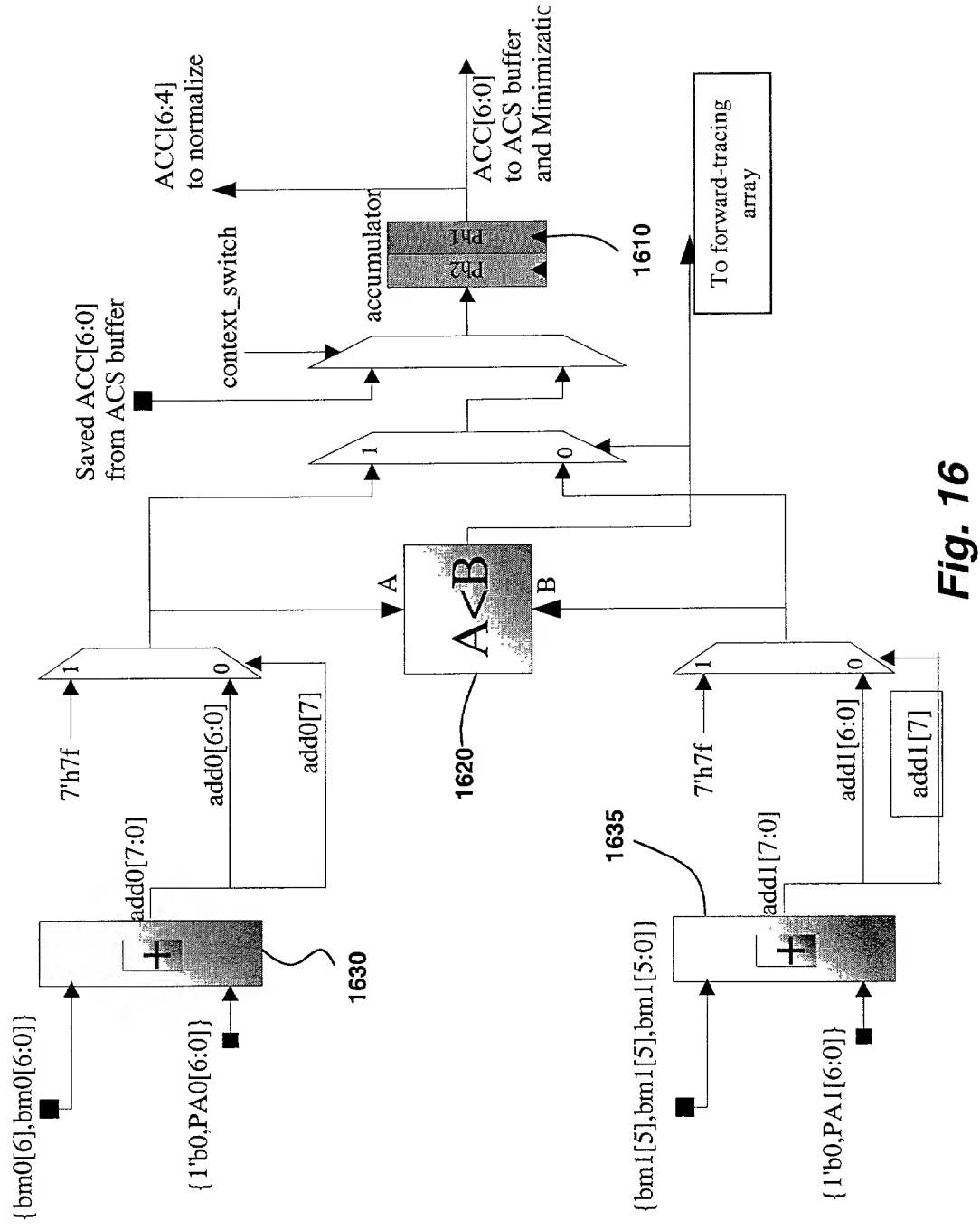
*Fig. 13b*



**Fig. 14**



**Fig. 15**



**Fig. 16**

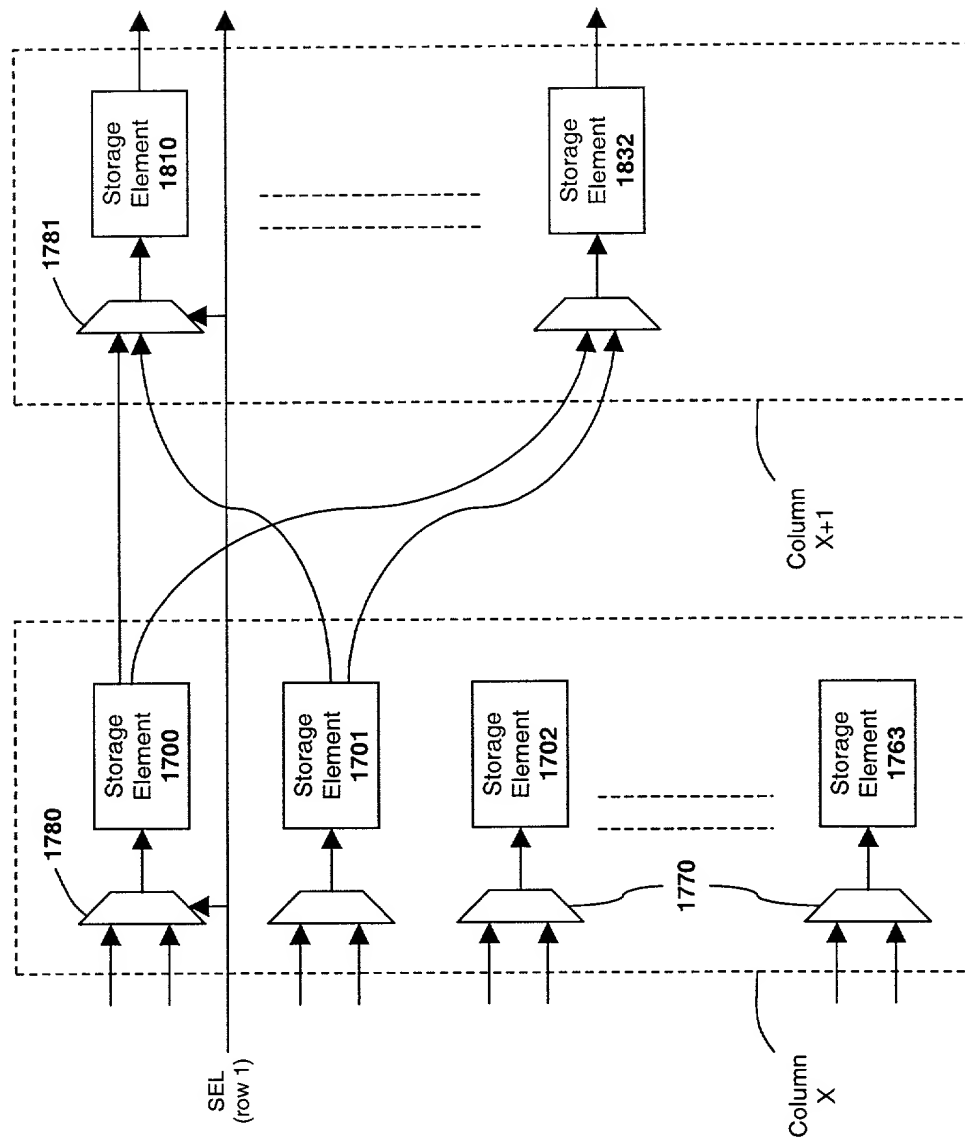
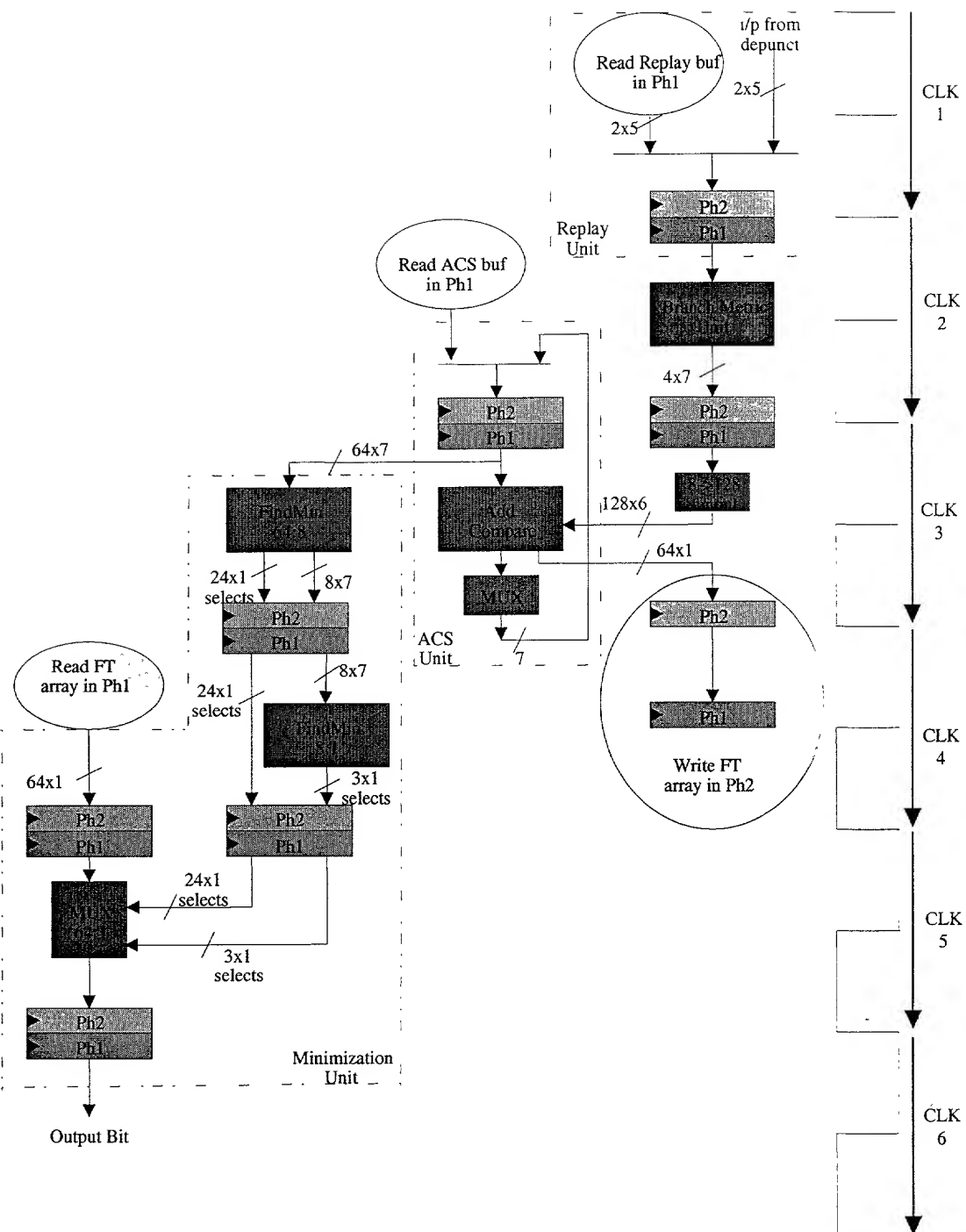
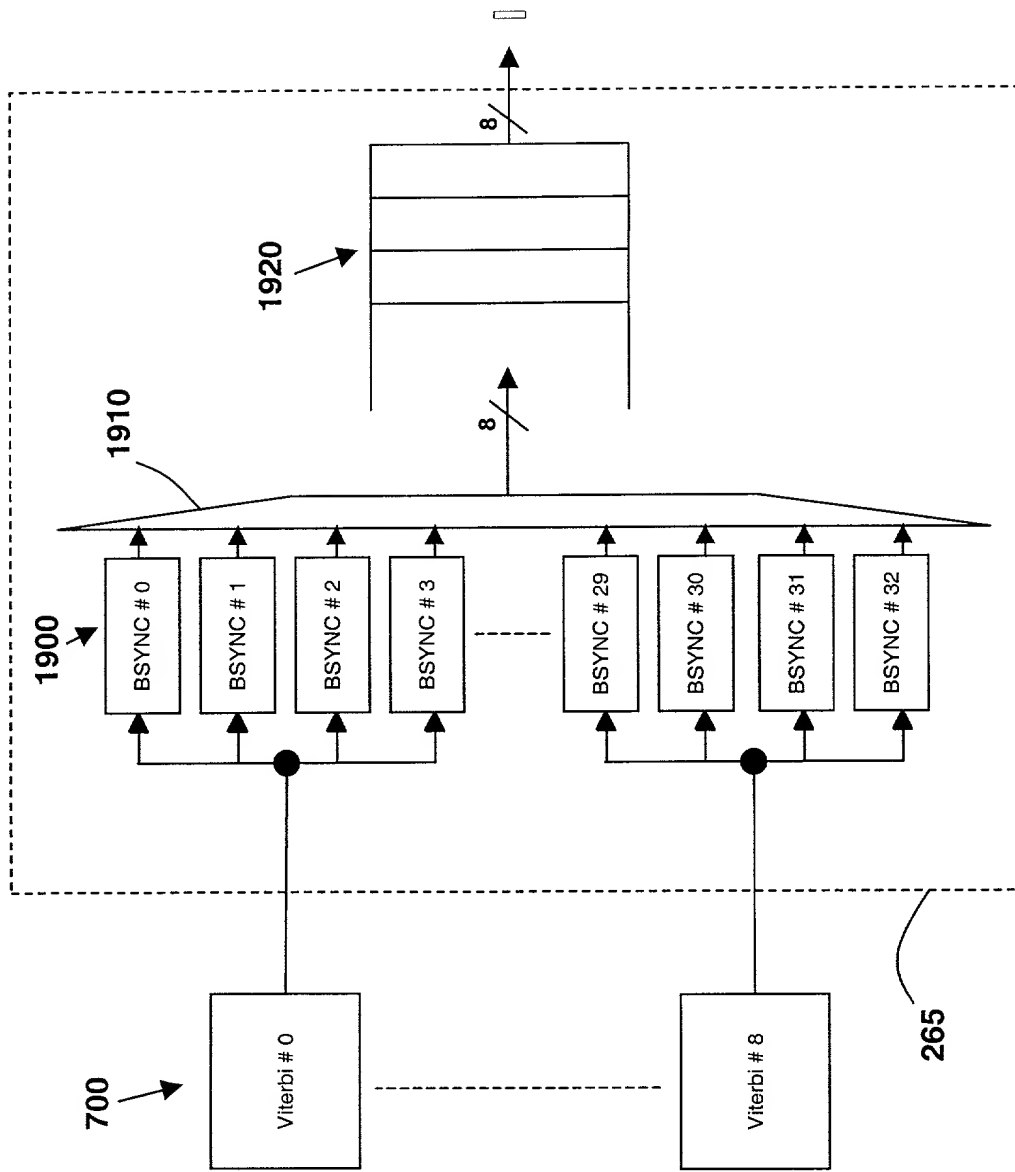


Fig. 17

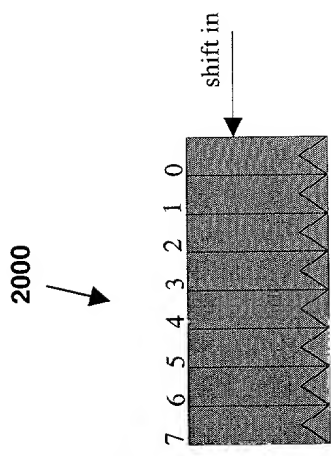


**Fig. 18**

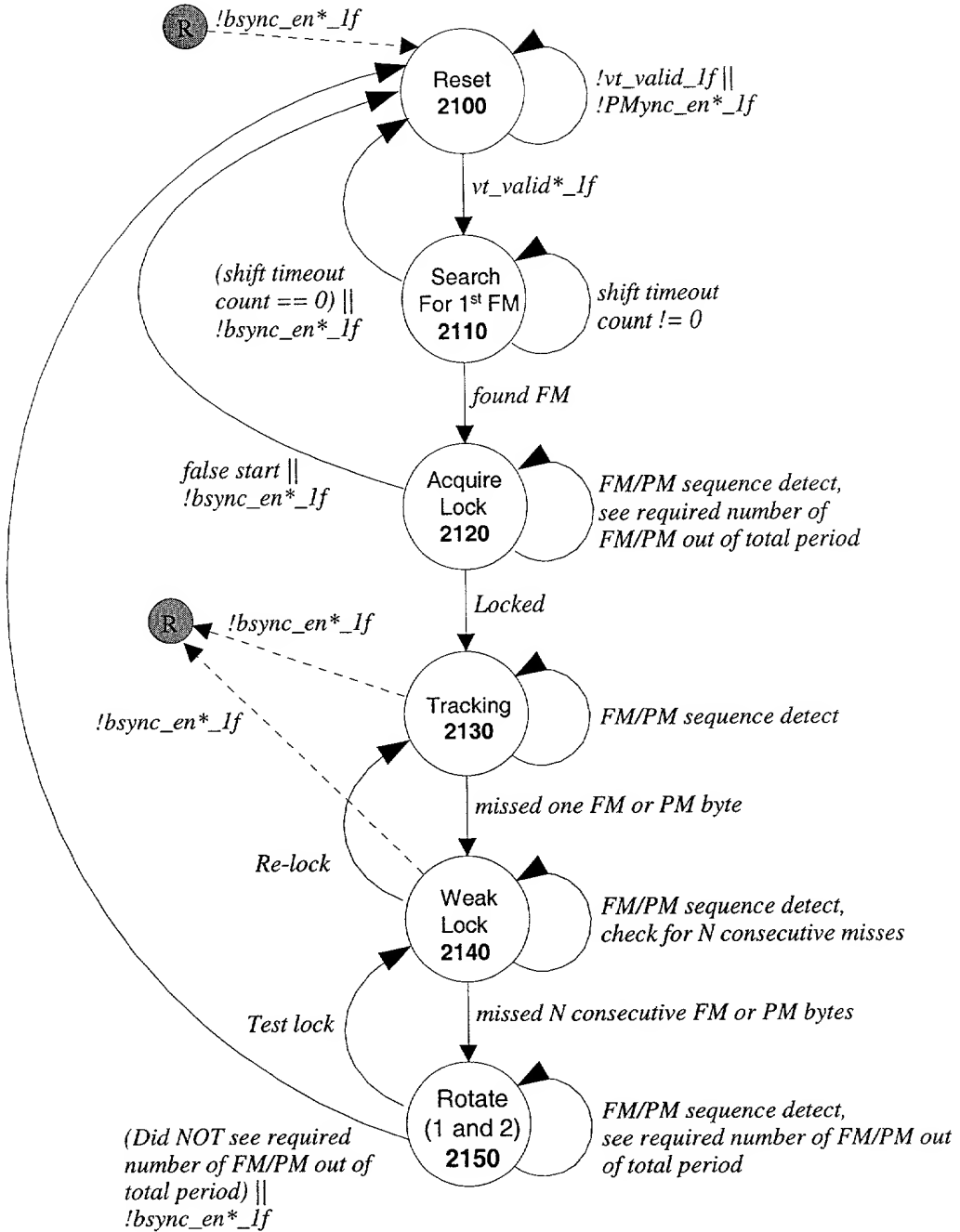


*Fig. 19*

W. [ ] d' [ ] m [ ] g' [ ] s' [ ] g' [ ] f' [ ]

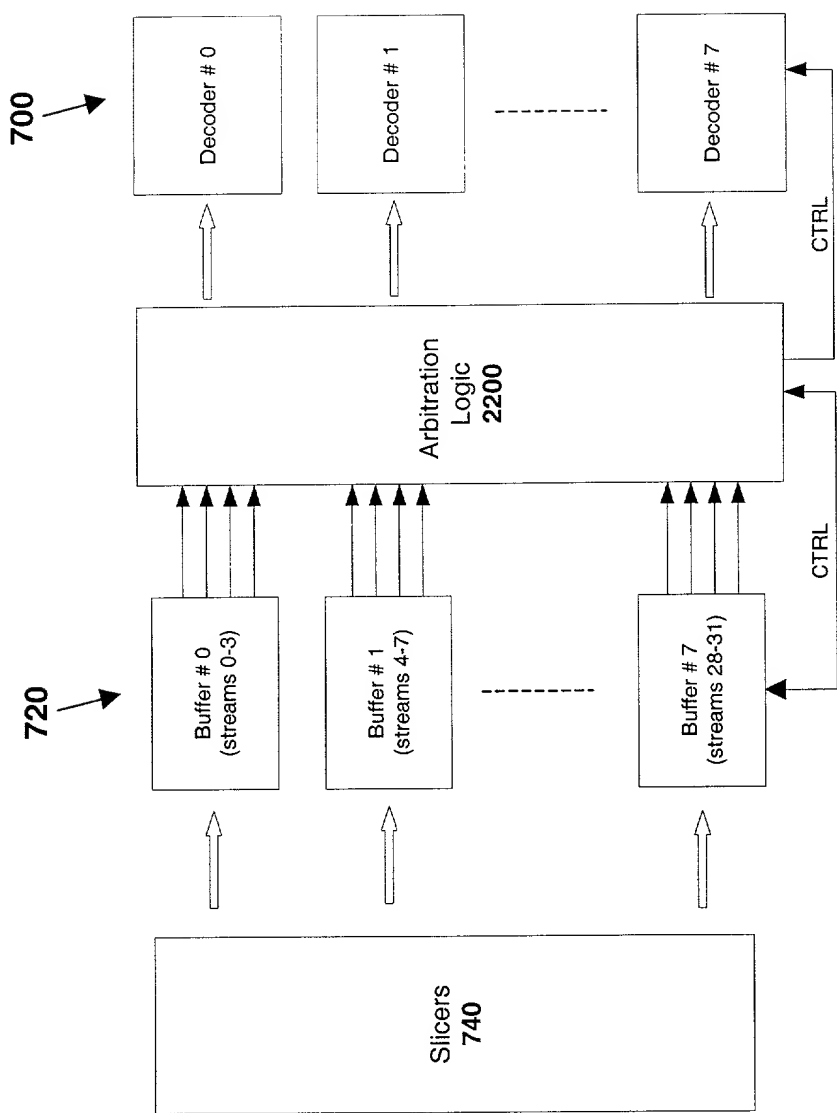


*Fig. 20*

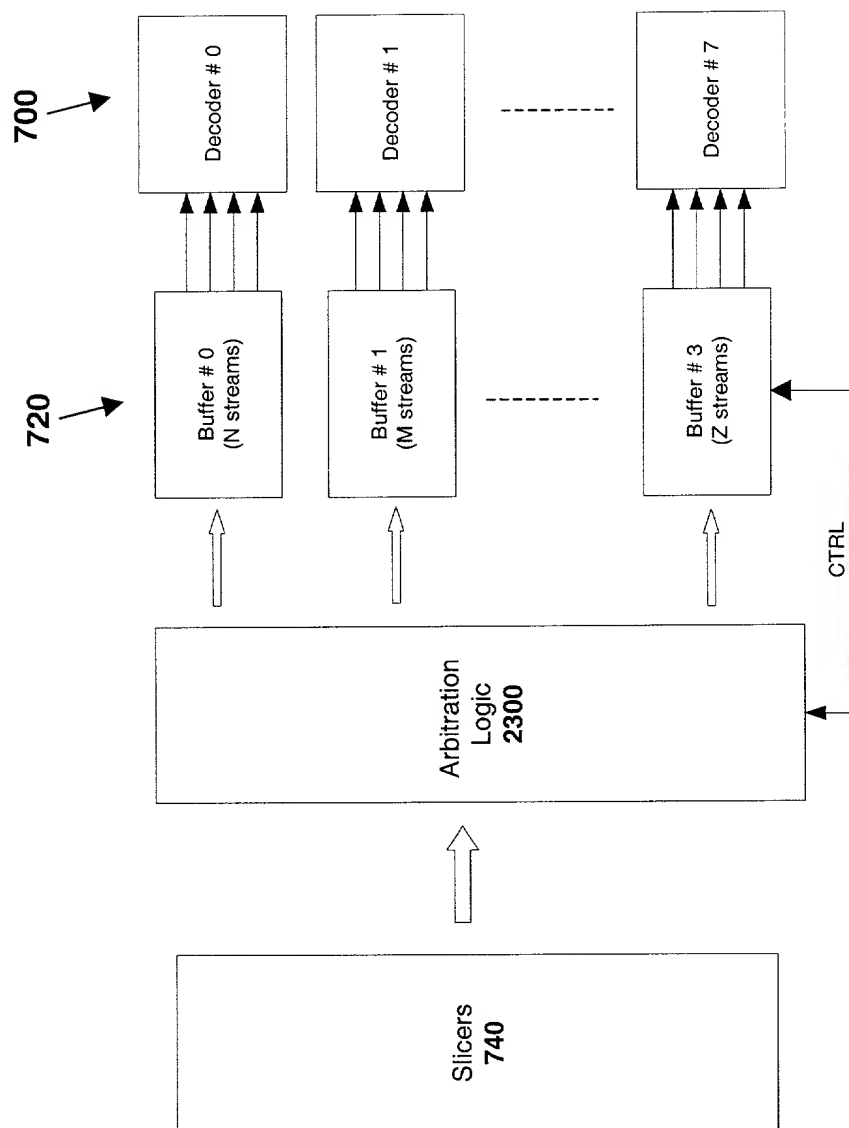


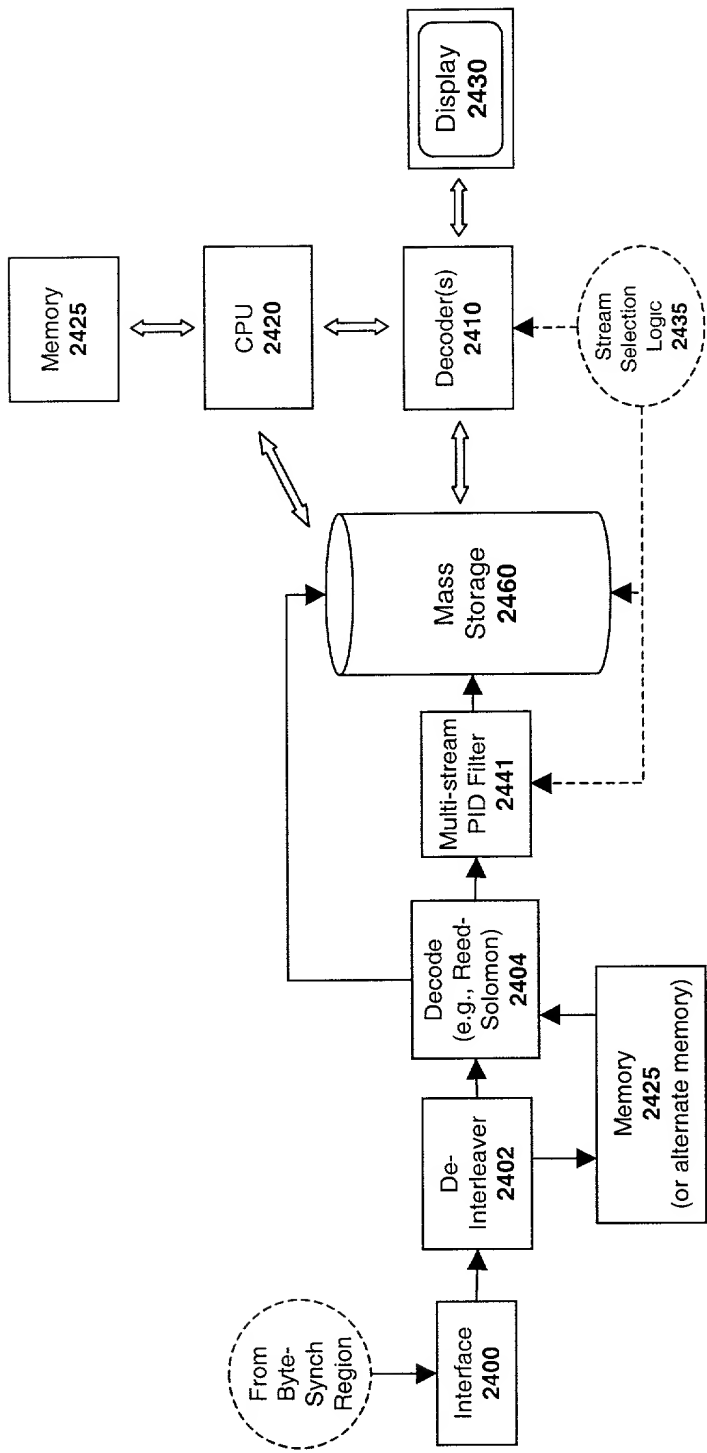
**Fig. 21**

*Fig. 22*



*Fig. 23*





**Fig. 24**